

01;03

## Термоэлектрическая конвекция в переменном тепловом поле

© А.В. Беляев, Б.Л. Смородин

Пермский государственный университет  
E-mail: bsmorodin@yandex.ru

Поступило в Редакцию 10 мая 2007 г.

Исследована конвективная неустойчивость горизонтального слоя жидкого полупроводника или ионного расплава под влиянием переменного градиента температуры в условиях невесомости. Рассмотрен случай, когда избыточный заряд возникает только в результате термодиффузии. Найдены границы термоэлектрической конвективной неустойчивости. Обнаружено, что при переменном воздействии, имеющем нулевое среднее значение, возмущения субгармонического отклика отсутствуют; показано, что в зависимости от амплитуды и частоты модуляции, а также физических свойств полупроводника или расплава синхронные возмущения проявляют себя по-разному и принадлежат разным классам. Определены характеристики амплитуды и частоты внешнего воздействия, необходимые для эффективного подавления термоэлектрической конвекции.

PACS: 44.25.+f, 83.80.Gv

Неоднородный нагрев жидкости может приводить к неустойчивости ее механического равновесия, быть причиной конвекции [1]. Среди множества механизмов неустойчивости выделяются электрические, действующие даже в условиях микрогравитации [2]. Эти механизмы необходимо учитывать при производстве высокочистых полупроводников в условиях орбитальных станций: подавление конвекции блокирует перенос вредных примесей. Конвекция в расплавах, обусловленная термодиффузионным распределением заряда и появлением термоэдс, исследована в [3–6]. Перспективным способом параметрического управления термоэлектрической конвекцией жидкого полупроводника является использование переменного градиента температуры [7].

В настоящей работе исследовано влияние переменного теплового поля на термоэлектрическую конвекцию в горизонтальном слое жидкого полупроводника или ионного расплава, найдены пороги неустойчиво-

сти, изучены различные типы синхронного отклика электроконвективной системы на внешнее воздействие.

Рассмотрим случай гармонической модуляции равновесного вертикального градиента температуры на фоне постоянного значения в условиях невесомости, когда рэлеевский механизм неустойчивости не работает, а неустойчивость вызвана появлением термоэдс. Будем считать, что толщина слоя  $h$  много меньше толщины температурного скин-слоя  $\delta = (\chi/\omega_0)^{1/2}$  ( $\omega_0$  — частота модуляции,  $\chi$  — температуропроводность жидкости). Толщина слоя, в свою очередь, много больше дебаевского радиуса. В таком случае можно пренебречь пространственной неоднородностью градиента температуры

$$\begin{aligned}\nabla T_0 &= -A(\eta_1 + \eta_2 \cos \omega_0 t)\mathbf{e}, \quad \mathbf{e} = (0, 0, 1), \\ \mathbf{E} &= \alpha \nabla T_0 = -\alpha A(\eta_1 + \eta_2 \cos \omega_0 t)\mathbf{e}.\end{aligned}\quad (1)$$

Здесь  $A$  — средний градиент температуры,  $\eta_1$  — постоянная составляющая и  $\eta_2$  — амплитуда переменной компоненты градиента температуры,  $\alpha$  — термоэлектрический параметр, характеризующий степень термодиффузии зарядов.

Используя в качестве масштаба длины —  $h$ , скорости —  $\chi/h$ , времени —  $h^2/\nu$ , температуры —  $Ah$ , давления —  $\rho_l \chi \nu / n^2$ , плотности заряда —  $\varepsilon \alpha A / h$  и напряженности электрического поля  $\alpha A$ , запишем уравнения, характеризующие эволюцию малых возмущений механического равновесия в невесомости

$$\begin{aligned}\frac{\partial \mathbf{v}}{\partial t} &= -\nabla p + \Delta \mathbf{v} - B\rho(\eta_1 + \eta_2 \cos \omega t)\mathbf{e}, \\ \text{Pr} \frac{\partial T}{\partial t} - v_z(\eta_1 + \eta_2 \cos \omega t) &= \Delta T; \quad v_z = \mathbf{v} \cdot \mathbf{e}, \\ P_1 \frac{\partial \rho}{\partial t} &= -\rho + \Delta T; \quad \text{div } \mathbf{v} = 0,\end{aligned}\quad (2)$$

где  $\mathbf{v}$ ,  $p$ ,  $T$ ,  $\rho$  — возмущения скорости, давления, температуры и плотности заряда соответственно;  $\text{Pr} = \frac{\nu}{\chi}$  — тепловое и  $P_1 = \frac{\varepsilon \nu}{\sigma h^2}$  — электрическое число Прандтля;  $B = \frac{\varepsilon \alpha^2 A^2 h^2}{\rho_l \chi \nu}$  — термоэлектрический параметр конвекции;  $\Omega = \frac{\omega_0 h^2}{\nu}$  — безразмерная частота модуляции ( $\rho_l$ ,  $\nu$ ,  $\varepsilon$ ,  $\sigma$  — плотность жидкости, коэффициенты кинематической вязкости, диэлектрической проницаемости, электропроводности).

Рассмотрим нормальные возмущения  $\{T, v, \rho, p\} = a_i(t) \sin(\pi z) \times \exp(ik_x x + ik_y y)$ , где  $a_i(t)$  — амплитуды, зависящие от времени,  $k_x, k_y$  — волновые числа, характеризующие периодичность возмущений в плоскости слоя. Такой вид возмущений удовлетворяет идеальным граничным условиям, соответствующим слою со свободными границами:

$$z = 0, 1 : v_z = 0; \quad \frac{\partial^2 v_z}{\partial z^2} = 0; \quad T = 0; \quad \rho = 0. \quad (3)$$

Для случая  $P_1 \approx 0$  (что реализуется для жидких полупроводников с высоким значением параметра термоэдс [7]) систему (2) после перенормировки времени  $t \rightarrow \gamma t / (k^2 + \pi^2)$ , а также амплитуд температуры  $a_1 \rightarrow x_1/a$  и скорости  $a_2 \rightarrow (k^2 + \pi^2)\gamma x_2$  запишем в более удобном симметризованном виде

$$\begin{aligned} \frac{dx_1}{dt} &= a(\eta_1 + \eta_2 \cos \omega t)x_2 - (1 - \gamma)x_1, \\ \frac{dx_2}{dt} &= a(\eta_1 + \eta_2 \cos \omega t)x_1 - \gamma x_2, \end{aligned} \quad (4)$$

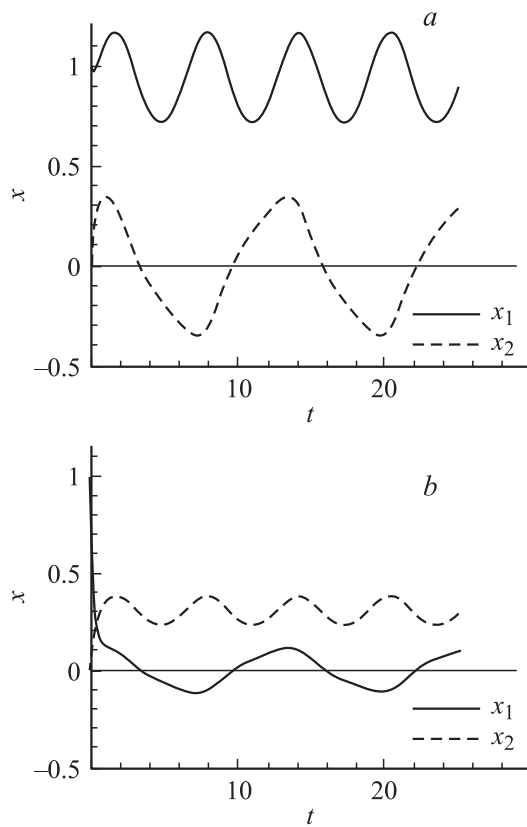
$$\gamma = \sqrt{Pr}, \quad a^2 = \frac{Bk^2}{(k^2 + \pi^2)^2}, \quad k^2 = k_x^2 + k_y^2, \quad \omega = \frac{\gamma\Omega}{(k^2 + \pi^2)}.$$

Численное интегрирование системы (4) методом Рунге–Кутты совместно с использованием метода Флоке [8] позволяет получить границы областей неустойчивости на плоскости параметров амплитуда — обратная частота модуляции  $(a, 1/\omega)$ , а также исследовать характер поведения нейтральных возмущений.

На рис. 1 изображена временная эволюция амплитуд  $x_1, x_2$  на границе неустойчивости в переменном поле с нулевым средним значением  $\eta_1 = 0, \eta_2 = 1$ . В отличие от уравнения Матье [8], у системы (4) отсутствуют решения субгармонического отклика, а синхронные решения можно разделить на классы Н1 (рис. 1, *a*) и Н2 (рис. 1, *b*) в соответствии с их поведением при временном сдвиге на минимальный интервал — половину периода  $T/2$  параметрического воздействия (изменения градиента температуры):

$$\text{Н1:} \quad x_1(t + T/2) = x_1(t), \quad x_2(t + T/2) = -x_2(t), \quad (5)$$

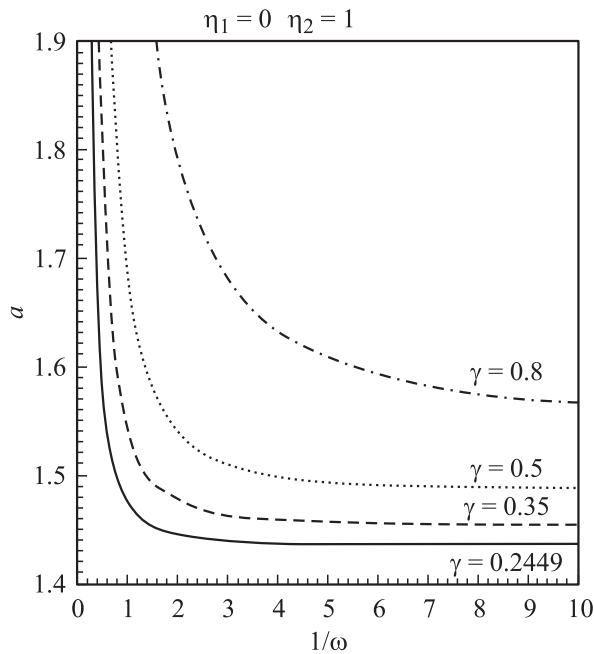
$$\text{Н2:} \quad x_1(t + T/2) = -x_1(t), \quad x_2(t + T/2) = x_2(t). \quad (6)$$



**Рис. 1.** Временная эволюция амплитуд  $x_1$ ,  $x_2$  на границе неустойчивости в переменном поле:  $\omega = 0.5$ ,  $a = 1.445$ ;  $a$  —  $\gamma = 4.083$ ,  $b$  —  $\gamma = 0.2449$ .

Поведение разных классов нейтральных синхронных возмущений исследовано в [9] для диэлектрофоретической электроконвекции, в [10] для электроконвекции нематических жидких кристаллов.

На рис. 2 отражено поведение порога конвекции в зависимости от обратной частоты при изменении параметра  $\gamma = \sqrt{\text{Pr}} < 1$ , соответствующего ионным расплавам или жидким полупроводникам [4,11] (для арсенида галлия  $\text{Pr} = 0.06$  [12] и  $\gamma = 0.2449$ ). Области неустойчивости находятся над кривыми. При увеличении  $\gamma$  область неустойчивости



**Рис. 2.** Зависимости порогов термоэлектрической конвекции от обратной частоты при изменении параметра  $\gamma < 1$ .

уменьшается, сдвигаясь в область больших амплитуд и меньших частот. При этом отклик системы на внешнее воздействие всегда относится к классу Н2.

Границы областей неустойчивости в случае  $\gamma > 1$  автоматически получаются из рис. 2. Анализ поведения системы (4) после замены  $\gamma \rightarrow 1/\gamma$ ,  $x_1 \rightarrow x_2$ ,  $x_2 \rightarrow x_1$  показывает, что уравнения (4) и положения границ неустойчивости остаются прежними. Но трансляционные свойства амплитуд нейтральных возмущений  $x_1$  и  $x_2$  станут соответствовать классу Н1 (6). Таким образом, зависимость порогов конвекции от числа Прандтля немонотонна. Максимальная устойчивость жидкости достигается при  $Pr = 1$ .

В присутствии постоянной составляющей ( $\eta_1 \neq 0$ ) разделение синхронных решений на классы Н1 и Н2 невозможно, что доказывается с

помощью исследования свойств системы (4), записанной в матричном виде

$$\frac{d}{dt} X(t) = A(t)X(t), \quad X(t) = \begin{pmatrix} x_1(t) \\ x_2(t) \end{pmatrix},$$

$$A(t) = \begin{pmatrix} -1/\gamma & a(\eta_1 + \eta_2 \cos \omega t) \\ a(\eta_1 + \eta_2 \cos \omega t) & -\gamma \end{pmatrix}. \quad (7)$$

Например, решение, принадлежащее классу Н1 (5), удовлетворяет соотношению

$$X\left(t + \frac{T}{2}\right) = DX(t), \quad (8)$$

где

$$D = D^{-1} = \begin{pmatrix} 1 & 0 \\ 0 & -1 \end{pmatrix}.$$

Выразим отсюда  $x(t) = D^{-1}X(t + \frac{T}{2}) = DX(t + \frac{T}{2})$  и подставим в дифференциальное уравнение (7)

$$\frac{d}{dt} X\left(t + \frac{T}{2}\right) = D^{-1}A(t)DX\left(t + \frac{T}{2}\right). \quad (9)$$

С другой стороны, произведя в (7) замену  $t \rightarrow t + \frac{T}{2}$ , получим тот же результат в другой форме

$$\frac{d}{dt} X\left(t + \frac{T}{2}\right) = A\left(t + \frac{T}{2}\right)X\left(t + \frac{T}{2}\right). \quad (10)$$

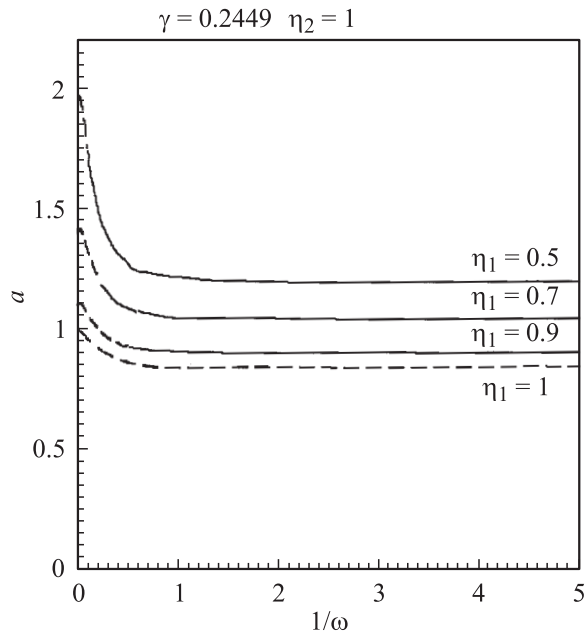
Сравнение (9) и (10) накладывает жесткое ограничение на свойства матрицы  $A$

$$A\left(t + \frac{T}{2}\right) = D^{-1}A(t)D. \quad (11)$$

Используя явный вид  $A(t)$  и матрицы  $D$ , из (11) получим матричное равенство

$$\begin{pmatrix} -1/\gamma & a(\eta_1 - \eta_2 \cos \omega t) \\ a(\eta_1 - \eta_2 \cos \omega t) & -\gamma \end{pmatrix} = \begin{pmatrix} -1/\gamma & -a(\eta_1 + \eta_2 \cos \omega t) \\ -a(\eta_1 + \eta_2 \cos \omega t) & -\gamma \end{pmatrix}, \quad (12)$$

которое возможно только в случае  $-a(\eta_1 + \eta_2 \cos \omega t) = a(\eta_1 - \eta_2 \cos \omega t)$ . Откуда немедленно следует: либо  $a = 0$  (это противоречит представлению о переменном характере воздействия), либо  $\eta_1 = 0$ . Для класса Н2 можно провести аналогичное рассмотрение.



**Рис. 3.** Границы зон неустойчивости для колебаний синхронного отклика при различных  $\eta_1 \neq 0$ ,  $\gamma = 0.2449$  (арсенид галлия). Сплошные линии соответствуют решениям, отвечающим от класса Н2. Пунктирные линии — граница неотрицательных нейтральных колебаний.

Границы зон неустойчивости, полученные для арсенида галлия  $\gamma = 0.2449$  численно, при различных значениях  $\eta_1 \neq 0$  показаны на рис. 3. Области неустойчивости находятся выше кривых. Нейтральные возмущения в этом случае принадлежат классическому типу синхронного отклика, наблюдающемуся в уравнении Матье [8], и соответствуют трансляционной симметрии с минимальным периодом  $T$ :

$$x_1(t + T) = x_1(t), \quad x_2(t + T) = x_2(t) \quad (13)$$

(для сравнения: в решениях класса Н2 период изменения амплитуды скорости  $x_2$  вдвое меньше периода модуляции градиента температуры). Сплошной линией на рисунке обозначена граница откликов, в которых  $x_2$  всегда положительно, а  $x_1$  принимает отрицательные

значения во второй половине периода (это решения, которые отвечают отклику класса  $H_2$  в случае ненулевого среднего значения градиента температуры). Пунктирная линия — порог неустойчивости, соответствующий нейтральным колебаниям, характеризующимся всюду неотрицательными значениями  $x_1$  и  $x_2$ . При увеличении  $\eta_1$  граница между типами решений сдвигается в сторону меньших частот. При  $\eta_1 = 1$  решения  $x_1$  и  $x_2$  неотрицательны при любых частотах. Анализ карт устойчивости (рис. 2, 3) показывает, что для эффективного подавления термоэлектрической конвекции необходимо использовать большие частоты модуляции, имеющей нулевое  $\eta_1 = 0$  или среднее значение  $\eta_1 \leq 0.5$ .

Исследования выполнены при частичной финансовой поддержке Российского фонда фундаментальных исследований (№ 05-01-00789, 07-01-96046) и гранта CRDF (PE-009-0).

## Список литературы

- [1] Гершуни Г.З., Жуховицкий Е.М. Конвективная устойчивость несжимаемой жидкости. М.: Наука, 1972.
- [2] Остроумов Г.А. Взаимодействие электрических и гидродинамических полей. М.: Физматгиз, 1972.
- [3] Иоффе Н.В., Калинин Н.В., Эйдельман Е.Д. // Письма в ЖТФ. 1976. Т. 2. В. 9. С. 395–396.
- [4] Саранин В.А. // Магнитная гидродинамика. 1983. № 1. С. 85–89.
- [5] Эйдельман Е.Д. // ЖЭТФ. 1993. Т. 103. В. 5. С. 1633–1644.
- [6] Smorodin B.L., Gershuni G.Z., Velarde M.G. // International Journal of Heat Mass Transfer. 1999. V. 42. P. 3159–3168.
- [7] Смородин Б.Л. // Письма в ЖТФ. 1996. Т. 22. В. 3. С. 1–5.
- [8] Коддингтон Э.А., Левинсон Н. Теория обыкновенных дифференциальных уравнений. М.: Изд-во иностр. лит., 1958.
- [9] Smorodin B.L., Velarde M.G. // J. Electrostat. 2001. V. 50. P. 205–226.
- [10] Stannarius R., Heuer J., John Th. // Phys. Rev. E. 2005. V. 72. P. 066218.
- [11] Катлер Н. Жидкие полупроводники. М., 1980.
- [12] Lan C.W., Ting C.C. // Journal of crystal growth. 1995. V. 149. P. 175–186.